

Wdh.
~~Wdh.~~

Vibration/Rotation

31.5

Wir gehen zurück zur vollen
Schrödinger-Gleichung und
berücksichtigen die kinetische
Energie der Kerne

Heizen: $\Psi(R_A, R_B, r_i) = \chi_K(R_A, R_B) \psi_e(R, r_i)$

Separationsansatz

↑ ↑
Kern Elektronen

$$\left[\underbrace{-\frac{\hbar^2}{2M_A} \Delta_{R_A} - \frac{\hbar^2}{2M_B} \Delta_{R_B}}_{K_K} - \frac{\hbar^2}{2m_e} \Delta_{r_i} + V(R, r_i) \right] \Psi = E \Psi$$

K_K K_e

$$[K_K + K_e + V(R, r_i)] \chi_K \psi_e$$

$$= [K_K + \underbrace{E(R)}_{\substack{\uparrow \\ \text{molekulares} \\ \text{Potential}}}] \chi_K \psi_e = E \chi_K \psi_e$$

$$\text{d.h. } [K_K + E(R)] \chi_K \psi_e = E \chi_K \psi_e$$

χ_K : Kernwellenfunktion

Nun betrachten wir K_K etwas genauer:

$$K_K = -\frac{\hbar^2}{2M_A} \Delta_A + \frac{\hbar^2}{2M_B} \Delta_B$$

$$= -\frac{\hbar^2}{2(M_A+M_B)} \Delta_{R_{SP}} - \frac{\hbar^2}{2\mu} \Delta_R$$

↑
kin. Energie
des Schwerpunktes

↑
kin. Energie
der Relativbewegung

$$\vec{R}_{SP} = \frac{M_A \vec{R}_A + M_B \vec{R}_B}{M_A + M_B}$$

$$\vec{R} = \vec{R}_A - \vec{R}_B$$

$$\mu = \frac{M_A \cdot M_B}{M_A + M_B}$$

Wir sind nur an der inneren Energie der Moleküle und deren energetische Struktur interessiert, deshalb können wir die Schwerpunktsbewegung eliminieren (setzen uns in ein Koordinatensystem, das seinen Ursprung im SZ hat!

$$\text{d.h.} \left[-\frac{\hbar^2}{2\mu} \Delta_R + E(R) \right] \chi_{K_e} \psi_e = E \chi_K \psi_e$$

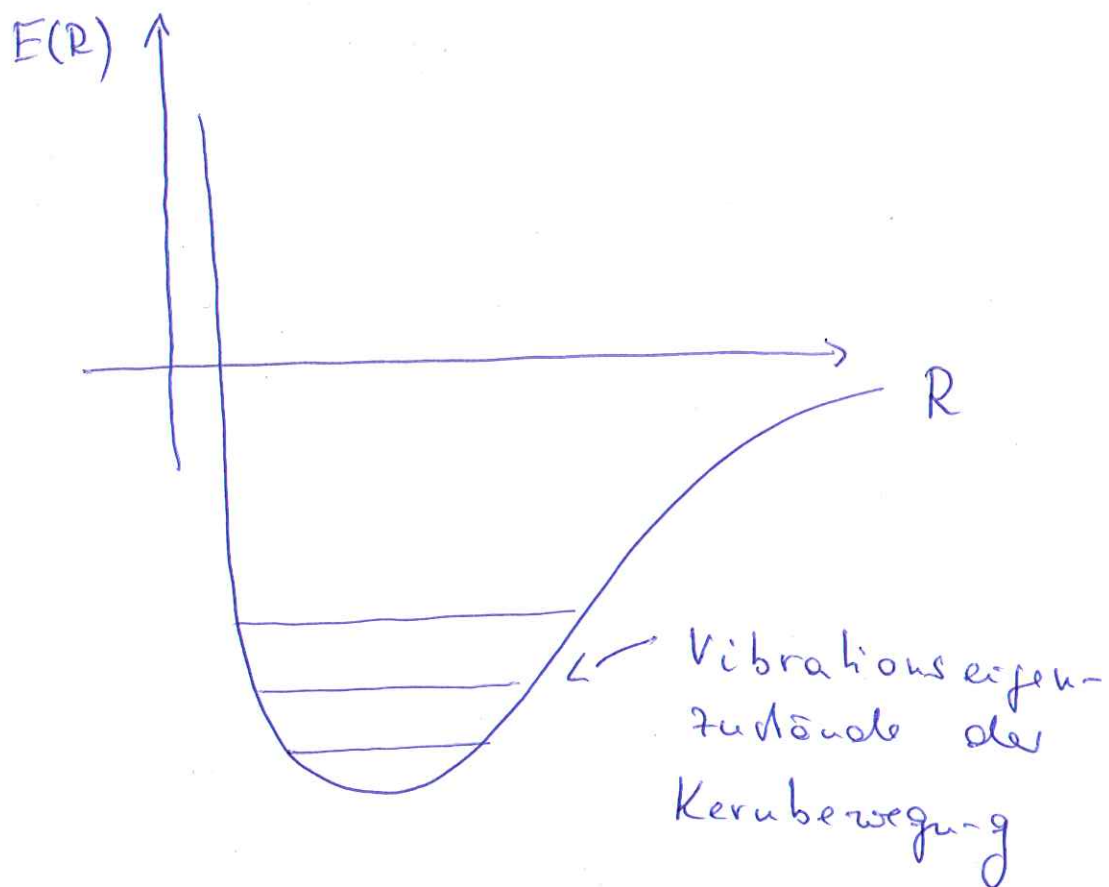
nun:

$\nabla_R^2 \Psi_e(R, r_i)$ und $\nabla_R \Psi_e(R, r_i)$
vernachlässigen!

Born-Oppenheimer Näherung!

$$\left[-\frac{\hbar^2}{2\mu} \Delta_R + E(R) \right] \chi_k(R) = E \chi_k(R)$$

↑
effektives Potential für
die Relativbewegung der
Kerne ist durch das
elektronische Molekulare
Potential gegeben!



zusätzlich Rotation!

Formal:

Schrödinger-Gleichung für die Relativbewegung des Kernes:

$$\left[-\frac{\hbar^2}{2\mu} \Delta_R + E(R) \right] \chi(\vec{R}) = E \chi(\vec{R})$$

Standardverfahren zur Separation von Winkel und Radialteil der Wellenfunktionen

$$\chi(R, \vartheta, \varphi) = R^{-1} f(R) g(\vartheta, \varphi)$$

$$\left[-\frac{\hbar^2}{2\mu} \frac{1}{R^2} \frac{\partial}{\partial R} \left(R^2 \frac{\partial}{\partial R} \right) + \frac{\hbar^2 \vec{J}^2}{2\mu R^2} + E(R) - E \right] R^{-1} f g \stackrel{!}{=} 0$$

$$\text{hier: } \vec{J}^2 = - \left(\frac{1}{\sin \vartheta} \frac{\partial}{\partial \vartheta} \left(\sin \vartheta \frac{\partial}{\partial \vartheta} \right) + \frac{1}{\sin^2 \vartheta} \frac{\partial^2}{\partial \varphi^2} \right)$$

$$\text{es gilt: } \vec{J}^2 Y_{j, M_j}(\vartheta, \varphi) = j(j+1) Y_{j, M_j}$$

d.h. wir können $g = Y_{j, M_j}$ setzen
und erhalten

$$\left[-\frac{\hbar^2}{2\mu} \frac{1}{R^2} \left(\frac{\partial}{\partial R} \left(R^2 \frac{\partial}{\partial R} \right) \right) + \frac{\hbar^2 j(j+1)}{2\mu R^2} + E(R) - E \right] R^{-1} f \stackrel{!}{=} 0$$

Term: $\frac{J(J+1)\hbar^2}{2\mu R^2}$ Rotationsenergie des Moleküls:

$R \approx R_0$ Gleichgewichtsabstand

d.h. $E_{\text{rot}}(J) = \frac{J(J+1)\hbar^2}{2\mu R_0^2}$

Interpretation: Klassisch: $E_{\text{rot}} = \frac{\vec{J}^2}{2I}$

$$I = \mu R_0^2$$

$$\langle \vec{J}^2 \rangle = \hbar^2 J(J+1)$$

Häufig schreibt man:

$$E_{\text{rot}}(J) = \frac{J(J+1)\hbar^2}{2\mu R_0^2} = B_e J(J+1)$$

mit $B_e = \frac{\hbar^2}{2\mu R_0^2}$ Rotationskonstante.

d.h. $J=3$ Rotationsenergie wie oben annehmen

$J=2$ _____

$J=1$ _____

$J=0$ _____

Zeige Typische Rotationskonstanten

Tabelle 9.5. Deuteröder

Rotationskonstante berechnen

Bsp.: H_2 -Molekül

$$\mu = \frac{m_1 \cdot m_2}{m_1 + m_2} = \frac{m_1}{2} \quad \text{mit } m_1 = m_2$$

$$R_0 = 0,742 \cdot 10^{-10} \text{ m}$$

$$I = \mu R_0^2 \approx 4,6 \cdot 10^{-48} \text{ kg m}^2$$

$$E_{\text{rot}} = 1,2 \cdot 10^{-21} J(J+1) \text{ Joule}$$

$$= 7 \text{ meV } J(J+1) \quad B_e = 60,80 \text{ cm}^{-1}$$

$$\begin{aligned}
 D_{\text{rd}}(y) &= [E(y+1) - E(y)]/h \\
 &= B_e [(y+2)(y+1) - y(y+1)] \\
 &= 2 B_e (y+1)
 \end{aligned}$$

Zeige Abb. 9.32

Zurück zur Radialgleichung

$$\left[-\frac{\hbar^2}{2\mu} \frac{1}{R^2} \left(\frac{\partial}{\partial R} \left(R^2 \frac{\partial}{\partial R} \right) \right) + \frac{\hbar^2 y(y+1)}{2\mu R^2} + E(R) - E \right] R^{-1} f = 0$$

$$\left[-\frac{\hbar^2}{2\mu} \frac{\partial^2}{\partial R^2} + \frac{\hbar^2 y(y+1)}{2\mu R^2} + E(R) - E \right] f(R) = 0$$

Löse näherungsweise:

- a) $R \approx R_0$ vernachlässige Zentrifugalkorrektur
b) $E(R)$ in Taylor Reihe um R_0

$$E(R) \approx E(R_0) + \left. \frac{dE(R)}{dR} \right|_{R_0} (R - R_0)$$

||

0

@ Minimum

$$+ \frac{1}{2} \left. \frac{d^2 E(R)}{dR^2} \right|_{R=R_0} (R - R_0)^2 + \dots$$

Schwingung zweiatomiger Moleküle

$$\text{d.h. } E(R) \approx E_{\text{rot}}(R_0) + \frac{1}{2} k (R - R_0)^2 + \dots$$

$$\left[-\frac{\hbar^2}{2\mu} \frac{\partial^2}{\partial R^2} + \frac{J(J+1)\hbar^2}{2\mu R_0^2} + E(R_0) + \frac{1}{2} k (R - R_0)^2 - E \right] f(R) \stackrel{!}{=} 0$$

Definiere: $E := E(R_0) + \frac{J(J+1)\hbar^2}{2\mu R_0^2} + E_{\text{Schwingung}}$

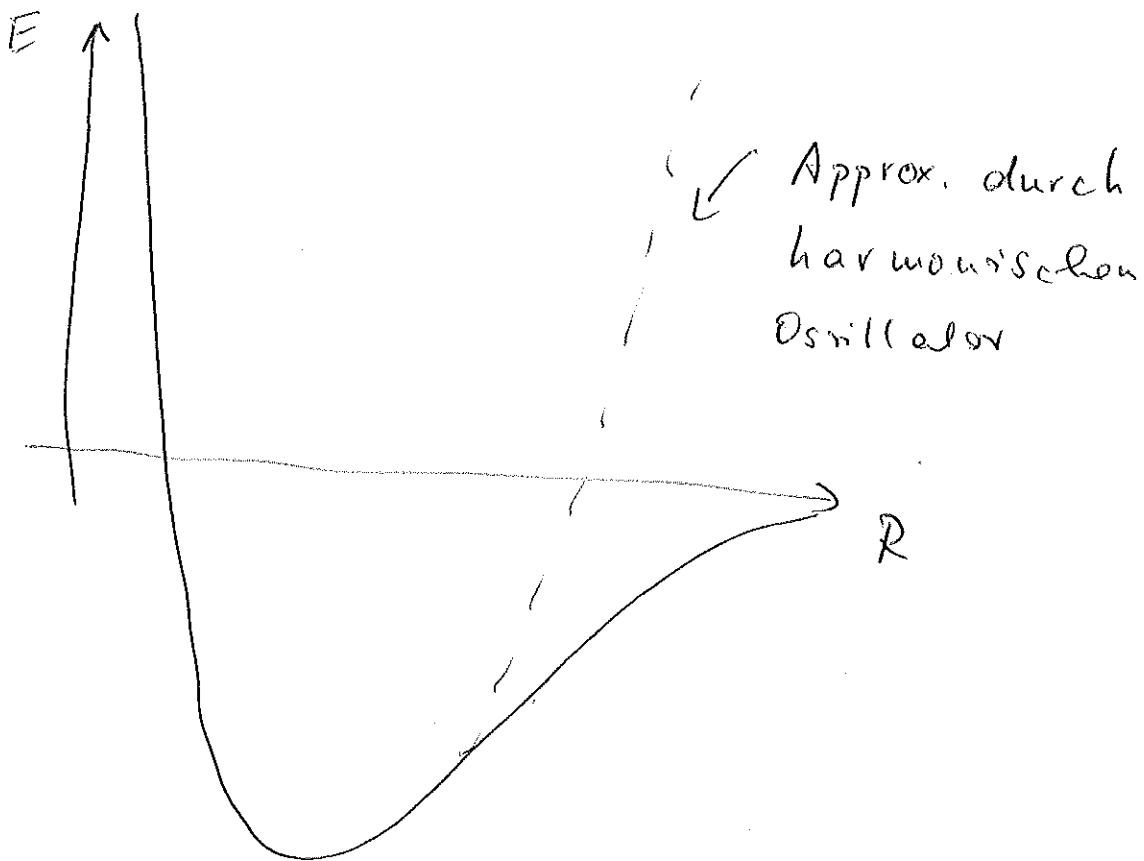
\downarrow
Rotations-
energie

$$\left[-\frac{\hbar^2}{2\mu} \frac{\partial^2}{\partial R^2} + \frac{1}{2} k (R - R_0)^2 - E_{\text{Schw.}} \right] f(R) = 0$$

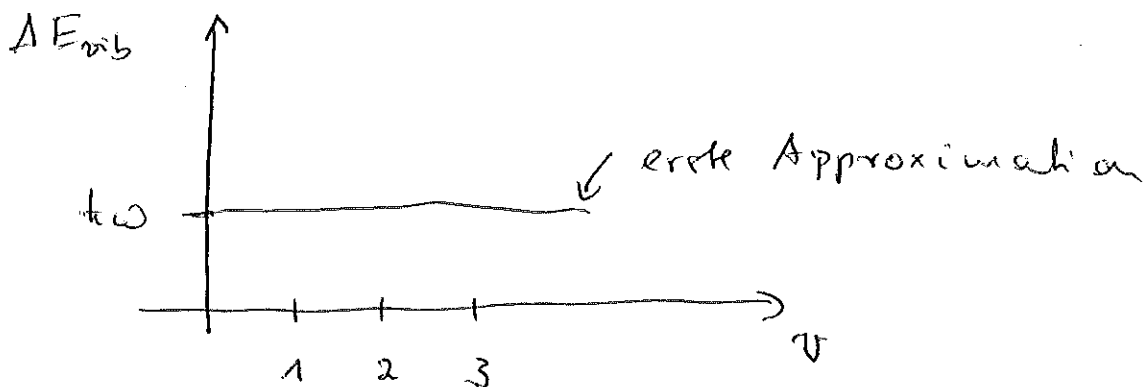
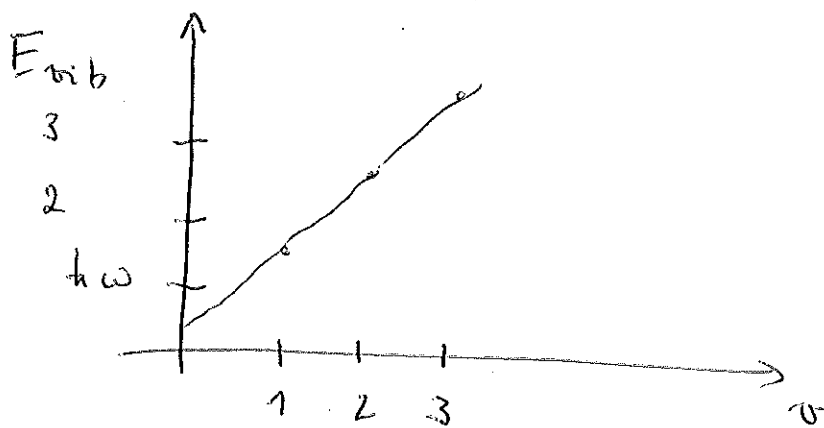
Harmonischer Oszillator

$$E_v = \left(v + \frac{1}{2}\right) \hbar \omega \quad \omega = \sqrt{\frac{k}{\mu}}$$

Grobe energetische Struktur:



$$E_v = \hbar \omega \left(v + \frac{1}{2} \right)$$



Entspricht nicht der Realität

Parabelpotential ist keine gute Näherung

Bessere Näherung:

Morse-Potential

$$E_{\text{pot}}(R) = E_D \left(1 - e^{-a(R-R_0)^2} \right)$$

siehe Abb. 9.35

$$E_{\text{vib}}(v) = \hbar \omega \left(v + \frac{1}{2} \right) - \frac{\hbar^2 \omega^2}{4 E_D} \left(v + \frac{1}{2} \right)^2$$

$$\begin{aligned} \Delta E(v) &= E(v+1) - E(v) \\ &= \hbar \omega \left[1 - \frac{\hbar \omega}{2 E_D} (v+1) \right] \end{aligned}$$

$$\omega = 1,3 \cdot 10^{14} \frac{1}{s} \text{ für } H_2\text{-Molekül}$$

$$T_{\text{vib}} = 4,8 \cdot 10^{-14} s$$

$$T_{\text{rot}} = 2,7 \cdot 10^{-13} / \sqrt{J(J+1)} s$$

ca. 10 Schwingungen während Rotationsperiode

$$\omega = 4,5 \cdot 10^{12} \frac{1}{s} \text{ für } Na_2$$

$$T_{\text{vib}} = 1,4 \cdot 10^{-12} s$$

$$T_{\text{rot}} = 1,1 \cdot 10^{-10} / \sqrt{J(J+1)} s$$

100 Schw. pro Rot.

Experimentelle Bestimmung von E_D (Dissoziationsenergie) und ω

$\Rightarrow a$ im Morsepotential

$$\omega = a \sqrt{\frac{2E_D}{M}}$$

Abstand benachbarter Schwingungs-niveaus wird mit zunehmender Energie kleiner,

Abs: endliche Anzahl von Schwingungsniveaus.

Rotation und Zentrifugalaufweichung

bisher $E_{\text{rot}}(j) = B j(j+1)$

$$B = \frac{h^2 j(j+1)}{2\mu R_0^2}$$

Annahme hier: $R \stackrel{!}{=} R_0$ d.h. starrer Rotator

Aber In einem realen Molekül wird die Bindungslänge durch die Rotation gestreckt.

Zugehörige Zentrifugalkraft:

$$F_z = \mu R \omega^2$$

ω: Winkelgeschwindigkeit

Rücktreibende Kraft durch das Potential

$$E_n(R) = E_n(R_0) + \frac{1}{2} k (R - R_0)^2 + \dots$$

$$F_r = k (R - R_0)$$

Kräftegleichgewicht

$$\mu R \omega^2 = k (R - R_0)$$

Bestimmung des Rotationsenergie:

$$E_{\text{rot}} = \frac{h^2 |j|^2}{2\mu R^2} + \frac{1}{2} k (R - R_0)^2$$

↙ potentielle Energie durch Streckung des Bindungslänge

$$\begin{aligned}
 E_{rd} &= \frac{k^2 |\vec{y}|^2}{2\mu R^2} + \frac{1}{2} R \frac{\mu^2 R^2 \omega^4}{R^2} \\
 &= \frac{k^2 |\vec{y}|^2}{2\mu R^2} + \frac{1}{2} R \cdot \frac{k^4 |\vec{y}|^4 \cancel{\mu^2 R^2}}{\cancel{\mu^2 R^2} R^6} \\
 &= \frac{k^2 |\vec{y}|^2}{2\mu R^2} + \frac{k^4 |\vec{y}|^4}{2R \mu^2 R^6}
 \end{aligned}$$

(5)

mit
~~verwende~~ $k\omega$
 $k|\vec{y}| = \mu R^2 \omega$

Nun schätze R ab.

(6)

$$R = \frac{\epsilon R_0}{\epsilon - \mu \omega^2}$$

$$\frac{1}{R^2} = \frac{1}{\epsilon^2 R_0^2} (\epsilon - \mu \omega^2)^2 = \frac{1}{R_0^2} \left(1 - \frac{\mu \omega^2}{\epsilon}\right)^2$$

$$\approx \frac{1}{R_0^2} \left(1 - \frac{2\mu \omega^2}{\epsilon}\right)$$

$$= \frac{1}{R_0^2} \left(1 - \frac{2\mu \hbar^2 |\vec{y}|^2}{\epsilon \mu^2 R_0^4}\right)$$

$$= \frac{1}{R_0^2} \left(1 - \frac{2\hbar^2 |\vec{y}|^2}{\epsilon \mu R_0^4}\right)$$

$| R \rightarrow R_0$

$$\approx \frac{1}{R_0^2} \left(1 - \frac{2\hbar^2 |\vec{y}|^2}{\epsilon \mu R_0^4}\right)$$

$$= \frac{1}{R_0^2} - \frac{2\hbar^2 |\vec{y}|^2}{\epsilon \mu R_0^6}$$

$$\rightarrow E_{\text{rot}} \approx \frac{\hbar^2 y^2}{2\mu R_0^2} + \frac{1}{2} \frac{\hbar^2 |\vec{y}|^4}{\epsilon \mu^2 R_0^6} - \frac{2\hbar^4 y^4}{2\mu^2 \epsilon R_0^6} - \dots$$

$$E_{\text{rot}}(y, \hbar y) \approx \frac{y(y+1)\hbar^2}{2\mu R_0^2} - \frac{1}{2} \frac{y^2(y+1)^2 \hbar^4}{\epsilon \mu^2 R_0^6}$$

$$\approx B y(y+1) - D y^2(y+1)^2$$

D: Zentrifugalaufweiche konstante

Durch die Zentrifugalaufweiche wird das Trägheitsmoment größer \rightarrow Rotationsenergie bei gleichem Drehimpuls kleiner

$$\frac{E_{rot}(j, M_j)}{hc} = B_e j(j+1) + D_e j^2(j+1)^2 \quad (7)$$

↑
Spektroskopische Konstanten in
der Literatur meist in cm^{-1}

Illustration!

Größenordnung siehe Präsentation!

Bisher: nur Rotation oder Vibration betrachtet (11)

~~Rotation~~ Wechselwirkung zw Rotation und Vibration

$$\left[-\frac{\hbar^2}{2\mu} \frac{\partial^2}{\partial R^2} + E_n(R) - E + \frac{\hbar^2 y(y+1)}{2\mu R^2} \right] \psi_{nvy} = 0$$

Analytisch lösbar für Morse - Potential

Reihenentwicklung ergibt:

$$\frac{E_{nvy}}{hc} = \underbrace{\omega_e \left(v + \frac{1}{2}\right)}_{\text{harm. Ostr.}} - \underbrace{\omega_e x_e \left(v + \frac{1}{2}\right)^2}_{\text{Anharmonizität}}$$

$$+ B_0 y(y+1) - D_0 y^2(y+1)^2$$

$$B_0 = B_e - \alpha_e \left(v + \frac{1}{2}\right)$$

↑
Starrer
Rotator

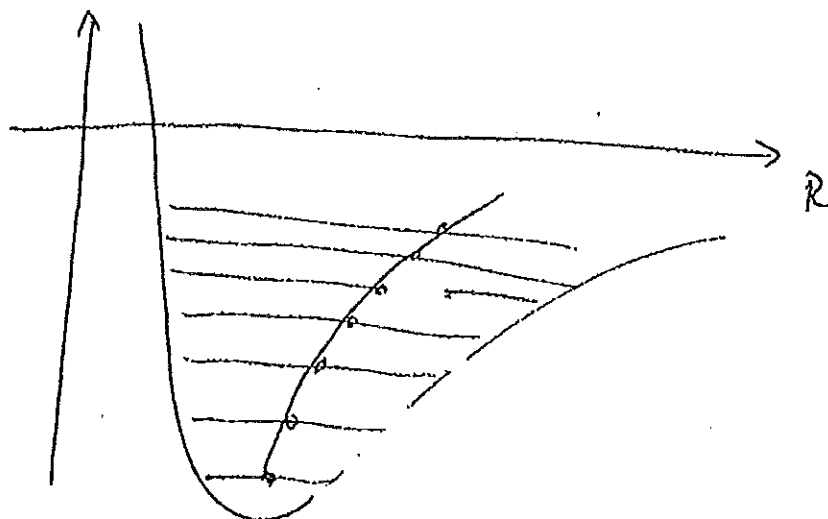
↑
Veränderung des
Trägheitsmoments
durch Vibration

↑
Zentrifugale Streckung
der Bindung

$$D_0 = D_e + \beta_e \left(v + \frac{1}{2}\right)$$

Interpretation

(12)



$$E_{rot}(v) = \frac{y(y+1)\hbar^2}{2\mu} \frac{1}{\langle R_0^2 \rangle_v} - \frac{1}{2} \frac{y^2(y+1)^2\hbar^4}{\mu^2 \langle R_0^6 \rangle_v}$$

$$\langle R^n \rangle_v = \langle v | R^n | v \rangle$$

Exp.: Man braucht 7 spektroskopisch
best. Konstanten

$T_e, w_e, x_e, B_e, D_e, f_e, \alpha_e$

Wiederholung:

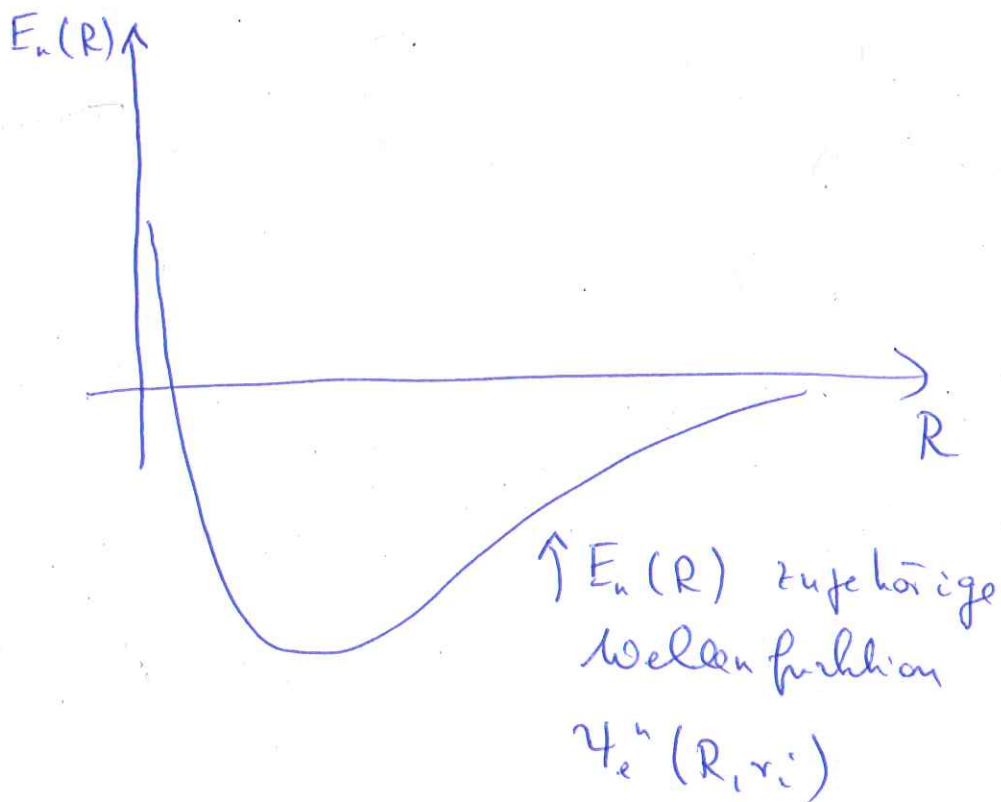
Die Wellenfunktion zwei-atomiger Moleküle

$$\left[-\frac{\hbar^2}{2M_A} \Delta_{R_A} - \frac{\hbar^2}{2M_B} \Delta_{R_B} - \frac{\hbar^2}{2m_e} \Delta_{r_i} + V(R, r_i) \right] \Psi = E \Psi$$

Elektronisches Wellenfunktionsanteil und elektronische Energie

$$\Psi = \Psi_e(R, r_i) \chi_K(\vec{R})$$

$$\left[-\frac{\hbar^2}{2m_e} \Delta_{r_i} + V(R, r_i) \right] \Psi_e^n(R, r_i) = E_n(R) \Psi_e^n(R, r_i)$$



Kernwellenfunktion

$$\left[-\frac{\hbar^2}{2\mu} \Delta_R + E_n(R) \right] \chi_K^n(\vec{R}) = E \chi_K^n(\vec{R})$$

$$\vec{R} = \vec{R}_A - \vec{R}_B$$

~~Ansatz~~

$$\mu = \frac{M_A \cdot M_B}{M_A + M_B}$$

Separation von Winkelkoordinaten und R

durch Separationsansatz $\chi_K^n(\vec{R}) = \frac{f_{nr}(R)}{R} \cdot Y_{lm}(\vartheta, \varphi)$

$$\left[-\frac{\hbar^2}{2\mu} \frac{\partial^2}{\partial R^2} + \frac{l(l+1)\hbar^2}{2\mu R} + E_n(R) - E \right] \chi_K^{n,l,m} = 0$$

Kernwellenfunktion

$$\chi_K(\vec{R}) = \chi_K(R, \vartheta, \varphi)$$

$$\chi_K = \chi_K^{n\nu j, M_j}$$

$$\left[-\frac{\hbar^2}{2\mu} \Delta_R + E_n(R) \right] \chi_K^{n\nu j, M_j} = E \chi_K^{n\nu j, M_j}$$

$$\chi_K^{n\nu j, M_j} = \frac{f_{n\nu}(R)}{R} Y_{j, M_j}(\vartheta, \varphi)$$

$f_{n\nu}(R)$: Vibrationsanteil

$Y_{j, M_j}(\vartheta, \varphi)$ Rotationsanteil

$f_{nv}(R)$: Lösung der Radialgleichung
nach Separation der
Winkelkoordinaten

mit $E_n(R) \approx E_n(R_0) + \frac{1}{2} \left. \frac{d^2 E_n(R)}{dR^2} \right|_{R_0} (R-R_0)^2 + \dots$

$$\left[-\frac{\hbar^2}{2\mu} \frac{\partial^2}{\partial R^2} + E_n(R_0) + \frac{1}{2} \left. \frac{d^2 E_n(R)}{dR^2} \right|_{R_0} (R-R_0)^2 + \frac{j(j+1)\hbar^2}{2\mu R_0^2} - E \right] f_{nv}(R) = 0$$

$$E := E_n(R_0) + \frac{j(j+1)\hbar^2}{2\mu R_0^2} + E_{\text{vibration}}$$

$$\left[-\frac{\hbar^2}{2\mu} \frac{\partial^2}{\partial R^2} + \frac{1}{2} \left. \frac{d^2 E_n(R)}{dR^2} \right|_{R_0} (R-R_0)^2 + E_{\text{vibration}} \right] f_{nv}(R) = 0$$

f_{nv} : Vibrationsanteil des Kernwellenfkt.



Im Boden des Potentials
approximiert durch Wellenfunktion
eines harmonischen Oszillators

$$\Psi = \Psi_e^u(R, r_i) \chi_K^{ngMg}$$

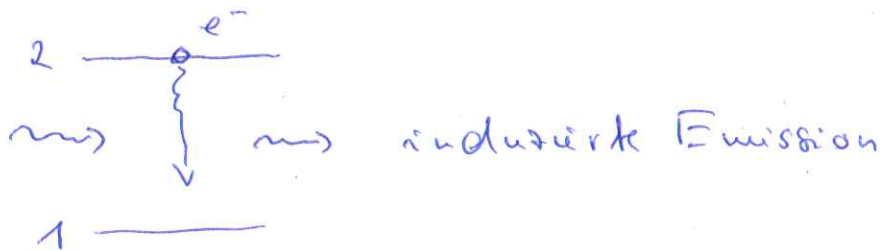
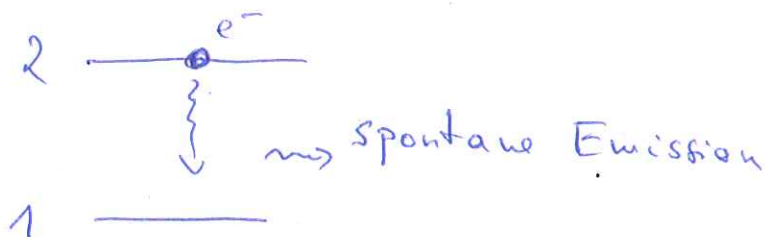
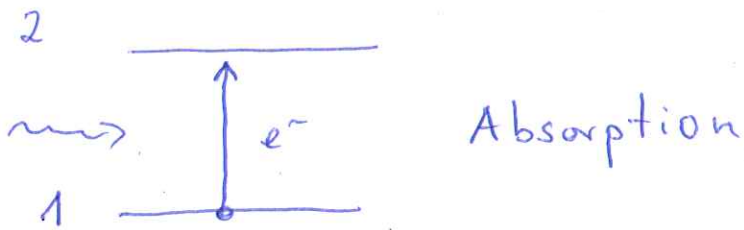
$$= \underbrace{\Psi_e^u(R, r_i)}_{\substack{\downarrow \\ \text{elektronische} \\ \text{WF}}} \underbrace{\frac{f_{nv}(R)}{R}}_{\substack{\downarrow \\ \text{Vibration} \\ \text{mit } \nu \\ \text{Quanten}}} \underbrace{\gamma_{gMg}(\nu, \varphi)}_{\substack{\downarrow \\ \text{Rotation mit} \\ \text{Drehimpuls } g, Mg}}$$

18

8. Vibrations- und Rotationspektren

Erinnerung:

Wechselwirkung von Licht und Atomen



Wann sind solche Übergänge möglich?
Von Niveau $i \rightarrow k$?

$$\vec{d}_{ik} = \int \psi_i^* \vec{r} \psi_k d\tau \neq 0$$

Bsp.: Wasserstoffatom

$$i = n^l m_e \rightarrow k = n' l' m_e'$$

$$\vec{d}_{ik} = e \int \psi_i^* \vec{r} \psi_k^*$$

$$\psi_i = \psi_{n l m} = \frac{1}{\sqrt{2\pi}} R_{nl}(r) Y_{lm}(\vartheta, \varphi)$$

$$\psi_k = \psi_{n' l' m'} = \frac{1}{\sqrt{2\pi}} R_{n'l'}(r) Y_{l'm'}(\vartheta, \varphi)$$

Wieso Übergangsdipolmoment?

Erinnerung:

Klassischer schwingender Dipol
(Hertzscher Dipol) mit einem
Dipolmoment $\vec{p} = q \vec{r} = \vec{p}_0 \sin \omega t$
strahlt mittlere Leistung ab

$$\overline{P} = \frac{2}{3} \frac{\overline{p^2} \omega^4}{4\pi \epsilon_0 c^3} \quad \overline{p^2} = \frac{1}{2} p_0^2$$

Wird der klassische Dipol durch
Übergangsdipolmoment \vec{p}_{ik} ersetzt

$$\rightarrow \langle P_{ik} \rangle = \frac{4}{3} \frac{\omega_{ik}^4}{4\pi \epsilon_0 c^3} |\langle d_{ik} \rangle|^2$$

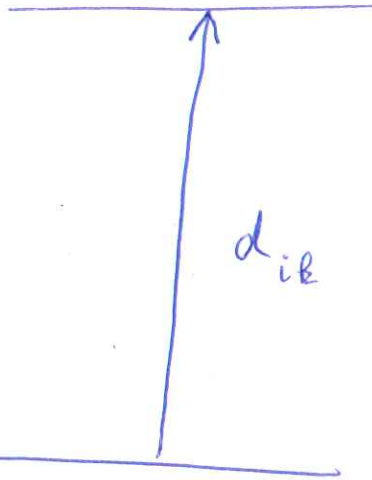
erwartete Leistung auf Übergang $i \rightarrow k$

Atome:

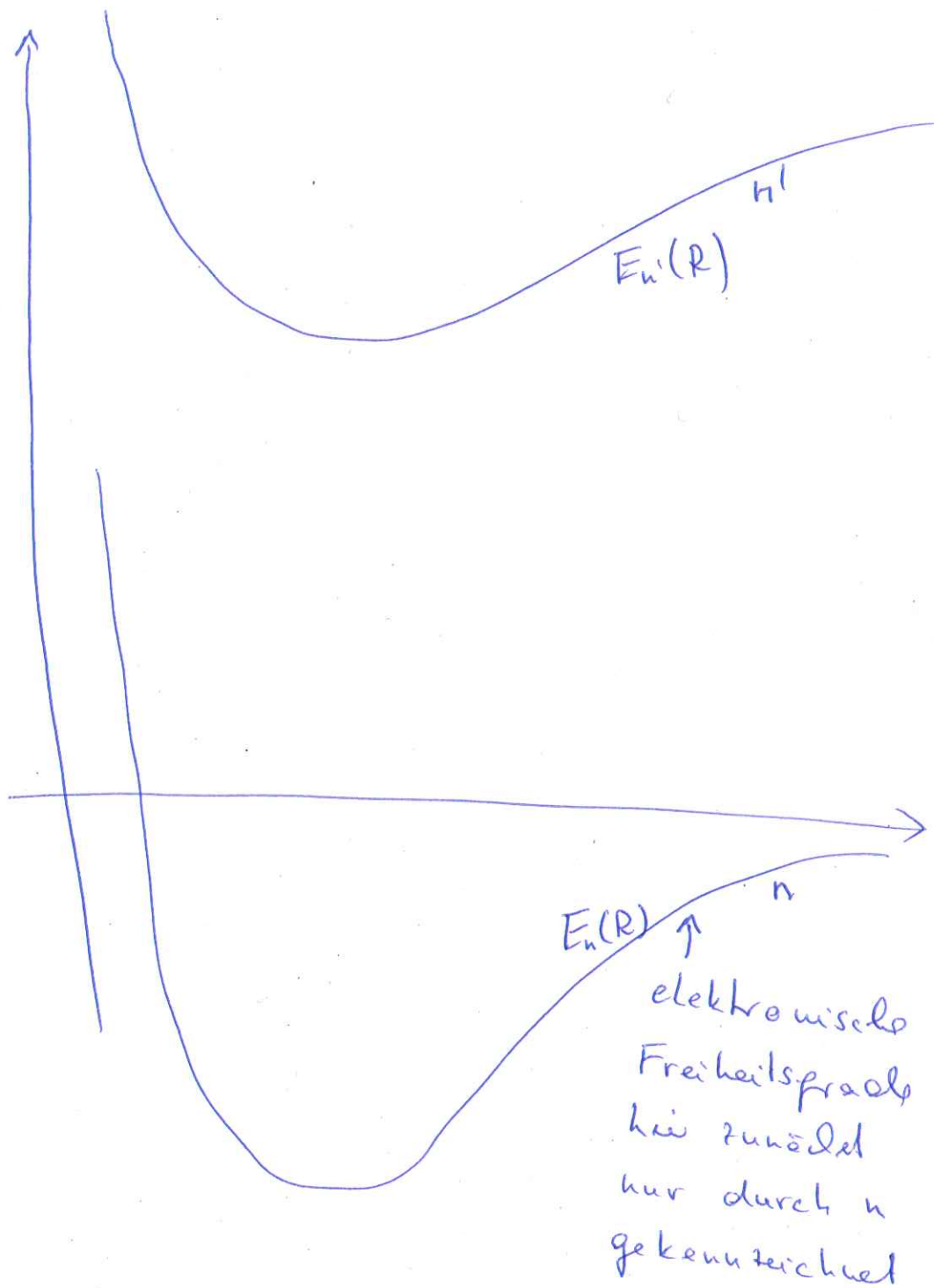
$$k = n' l' m_e'$$

$$i = n l m_e$$

$$d_{ik} \quad ?$$



jeht: Moleküle



zugehörige elektronische Wellenfkt.

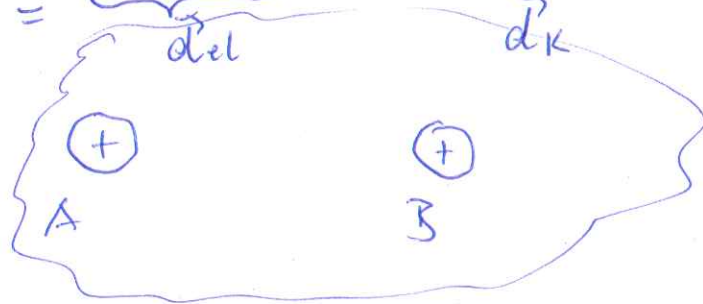
$$\psi_n(R, r_i)$$

↓ elektronische Koordinaten
internuklearer Abstand

$$\left[-\frac{\hbar^2}{2m_e} \Delta_{r_i} + V(R, r_i) \right] \psi_n^e(R, r_i) = E_n(R) \psi_n^e(R, r_i)$$

Dipolmoment:

$$\vec{d} = -\sum_i e \vec{r}_i + \underbrace{z_A \vec{R}_A + z_B \vec{R}_B}_{\vec{d}_K}$$



Berechne nun:

$$\vec{d}_{i \rightarrow k} = \int \psi_i^* \vec{d} \psi_k d\vec{r}_e d\vec{R}_N d\vec{r}_e d\vec{r}_k$$

↓
elektronische
Koordinaten

→
Kernkoordinaten

Vibration
↑
Rotation
i: $n \nu g M_y$
↓
elektron. Freiheitsgrade

j: $n' \nu' g' M_{y'}$

$$\psi_i = \psi_e^n(R, r_i) \frac{f_{nv}(R)}{R} Y_{\nu m_\nu}(\vartheta, \varphi)$$

$$\vec{d}_{i \rightarrow e} = \int (\psi_i^* (\vec{d}_{el} + \vec{d}_K) \psi_K) d\vec{r}_{el} d\vec{r}_K$$

$$= \int \psi_e^n(R, r_i) \chi_K^{n\nu g M} (\vec{d}_{el} + \vec{d}_K) \psi_e^{n'*} \chi_K^{n'\nu' g' M'} d\vec{r}_{el} d\vec{r}_K$$

$$= \int \chi_K^{*n\nu g M} \left(\underbrace{\int \psi_e^n(R, r_i)^* \vec{d}_{el} \psi_e^{n'}(R, r_i) d\vec{r}_{el}}_{=0 \text{ für } n \neq n'} \right) \chi_K^{n'\nu' g' M'} d\vec{r}_K$$

$$+ \int \chi_K^{*n\nu g M} \vec{d}_K \underbrace{\left[\int \psi_e^n(R, r_i)^* \psi_e^{n'}(R, r_i) d\vec{r}_{el} \right]}_{\delta_{nn'}} \chi_K^{n'\nu' g' M'} d\vec{r}_K$$

* $n = n'$ Vibrations-/Rotationsübergänge
in einem molekularen Potential

$$\vec{d}_{i \rightarrow K} = \int \chi_K^{n\nu g M} \vec{d}_K \chi_K^{n'\nu' g' M'} d\vec{r}_K$$

* $n \neq n'$

$$\begin{aligned} \vec{d}_{i \rightarrow K} &= \int \chi_K^{*n\nu g M} \left(\int \psi_e^n(R, r_i)^* \vec{d}_{el} \psi_e^{n'}(R, r_i) d\vec{r}_{el} \right) \chi_K^{n'\nu' g' M'} d\vec{r}_K \\ &= \int \chi_K^{*n\nu g M} \vec{d}_{el}^{(R)} \chi_K^{n'\nu' g' M'} d\vec{r}_K \end{aligned}$$

$n = n'$ Schwingungs- und Rotations-
übergänge

$$\vec{d}_{ik} = e \int \chi^{*n\nu jM} \underbrace{(z_A \vec{R}_A + z_B \vec{R}_B)}_{\vec{d}_0(R)} \chi^{n\nu' j'M'} d\vec{r}_K$$

Für $z_1 = z_2$ und $M_A = M_B$

gilt $\vec{R}_A = -\vec{R}_B$

$$\Rightarrow \vec{d}_{ik} = 0$$

d.h. homonukleare Moleküle
haben in dieser Dipol-
näherung keine Schwingungs-
Rotationsübergänge innerhalb
eines elektronischen Zustandes.

Definiere $e(z_A \vec{R}_A + z_B \vec{R}_B) := \vec{d}_0(R)$
 $:= d_0''(R) \hat{R}$

$$\vec{d}_{ik} = \int \chi^{*n\nu jM} d_0''(R) \hat{R} \chi^{n\nu' j'M'} d\vec{r}_K$$

$$= \int \frac{f_{n\nu}}{R} Y_{jM}(\vartheta, \varphi) d_0''(R) \hat{R} \frac{f_{n\nu'}}{R} Y_{j'M'} R^2 dR \sin\vartheta d\vartheta d\varphi$$

\hat{T}_H

$$= \int f_{np}(R) R f_{n'p'}^*(R) dR$$

(1)

$$\int \sin^2 \theta d\theta d\varphi Y_{l'm}^*(\theta, \varphi) \hat{P} Y_{l'm}(\theta, \varphi)$$

(2)

(1) Auswahlregeln für Vibrationsübergänge

Für harmonischen Oszillator gilt

$$\Delta v = \pm 1$$

x Es gibt also Übergänge zwischen benachbarten Schwingungsniveaus.

x Im anharmonischen Potential auch $\Delta v = 2, 3, 4, \dots$ aber mit stark abnehmender

Intensität

(2): Rotation

$$\Delta J = \pm 1$$

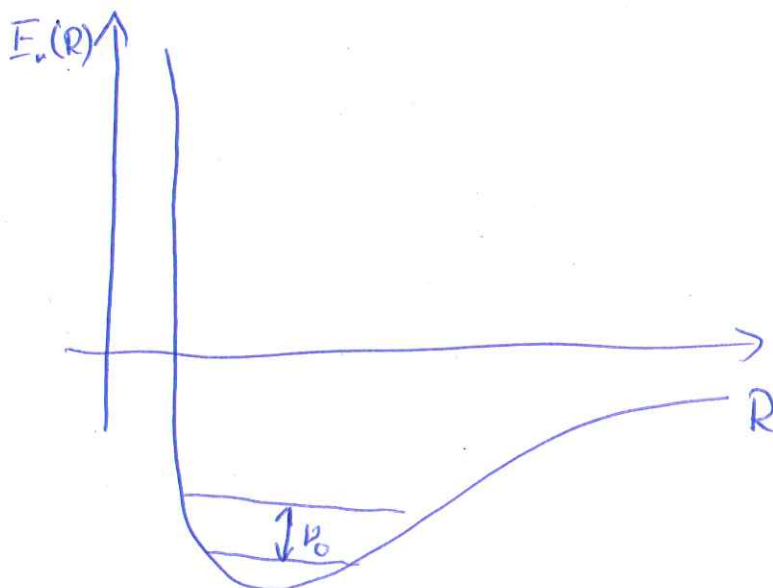
$$\Delta M = 0, \pm 1$$

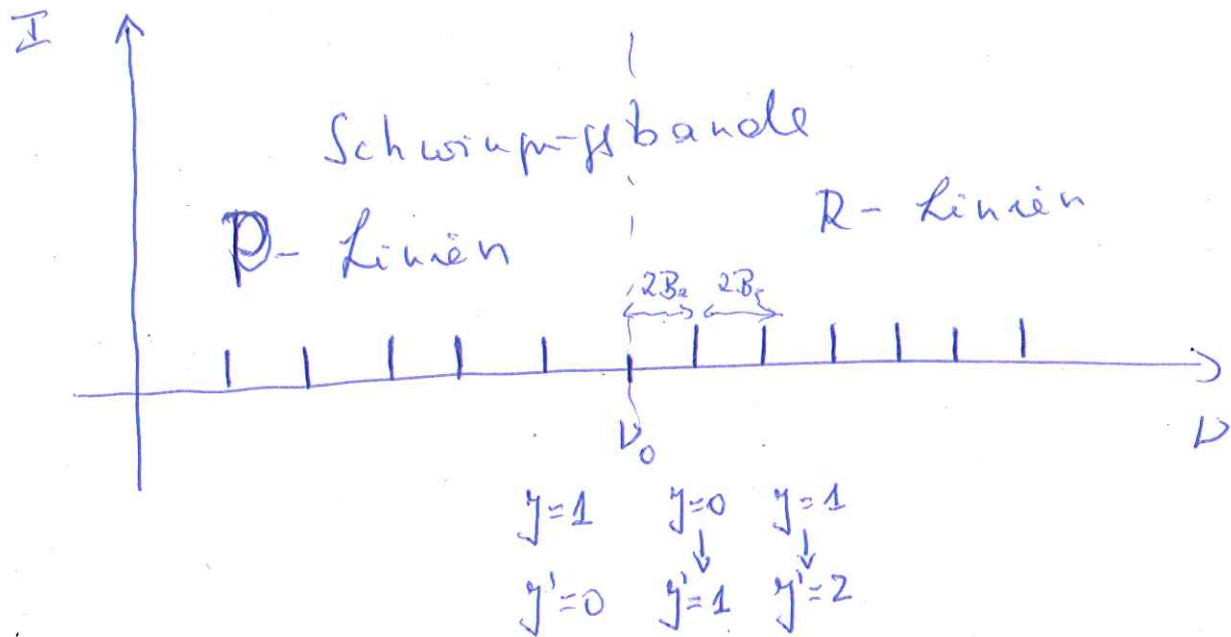
Der Drehimpuls absorbiertes,
emittierter Photonen hat den
Drehimpuls \hbar

$$\Delta J = J - J' = +1 \quad R\text{-Linien}$$

$$\Delta J = J - J' = -1 \quad P\text{-Linien}$$

Spektrum eines Vibrations/Rotationsübergangs





$$\nu(j', j'') = B_e j'(j'+1) - B_e j''(j''+1)$$

$$\begin{aligned}
 j' = j+1 \quad &= -B_e j(j+1) + B_e (j+2)(j+1) \\
 &= 2B_e(j+1)
 \end{aligned}$$

$$\nu(j', j) = -2B_e(j+1)$$

$$j' = j-1$$